



FACULTAD DE CIENCIAS EN FÍSICA Y MATEMÁTICAS



MODELACIÓN DE UNA ESTRUCTURA TIPO EDIFICIO MEDIANTE EL FORMALISMO DE EULER-LAGRANGE

Dr. Josué Enríquez-Zárate
Investigador
RTO Energy

CONTENIDO

- Introducción**
 - Modelo dinámico de la estructura tipo edificio**
 - Perturbación al sistema**
 - Descripción de la estructura experimental**
 - Análisis modal del sistema**
 - Control pasivo de vibraciones en la estructura tipo edificio**
 - Conclusiones**
-

Introducción

- Muchos sistemas en la realidad son modelados matemáticamente para ser analizados en un contexto “*off-line*”.
 - Este planteamiento nos permite representar su comportamiento en el mundo real, considerando las variables y parámetros que intervienen en su funcionamiento.
 - Estos modelos se suelen representar generalmente con elementos mecánicos como: resortes, masas y amortiguadores.
-

Introducción

- Una forma idealizada de modelarlos, es considerando su zona de comportamiento lineal, lo que simplifica en muchos casos su análisis.
 - Una de las herramientas físico-matemáticas más utilizadas en la ingeniería de control, es el conocido como método por energías o formalismo de Euler-Lagrange.
 - Enfocada al análisis de sistemas de un orden superior de grados de libertad.
-

Ejemplos:

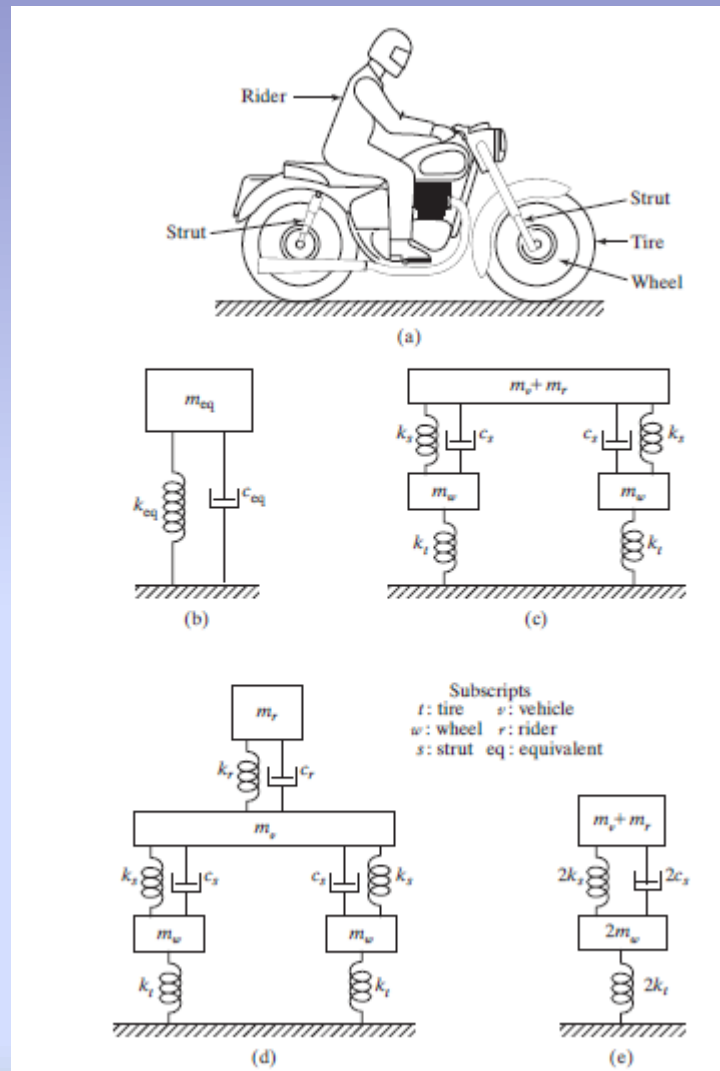


Figura 1: Sistema físico y modelo matemático [Singiresu S. Rao, *Mechanical vibrations*, 2011]

Ejemplos:

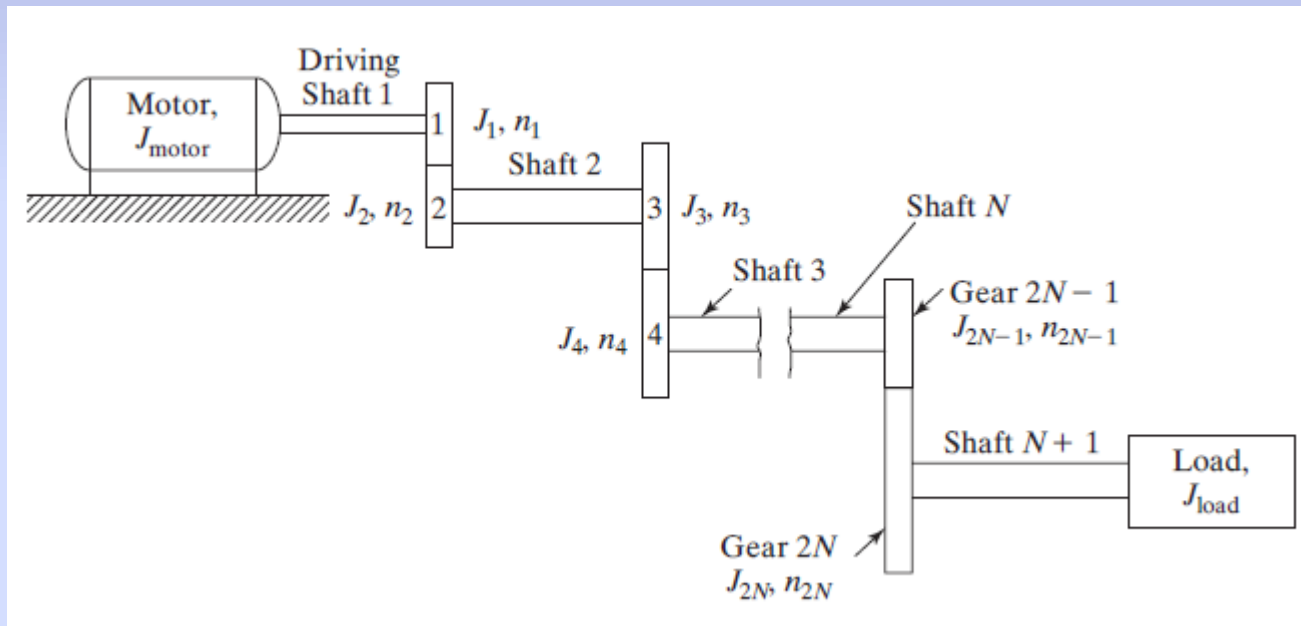
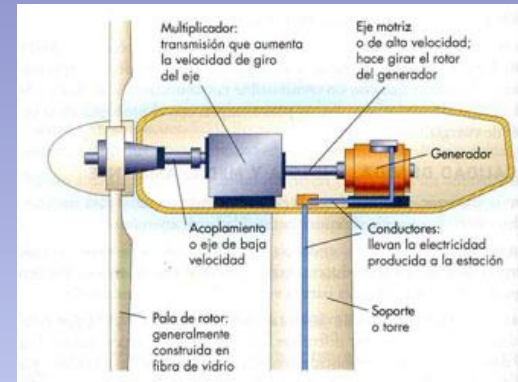


Figura 2: Sistema físico y modelo matemático
[Singiresu S. Rao, *Mechanical vibrations*, 2011]

Modelo dinámico

- **Función Lagrangiana:**

$$L = T - U$$

- **Energía cinética:**

$$T = \frac{1}{2} m \dot{y}^2$$

- **Energía potencial:**

Elástica $U = \frac{1}{2} k y^2$

$U = \frac{1}{2} m g h$ **Gravitatoria**

Modelo dinámico

- Energía disipativa:

$$R = \frac{1}{2} c \dot{y}^2$$

Formalismo Euler-Lagrange:

$$\frac{d}{dt} \left(\frac{\partial L}{\partial \dot{y}} \right) - \frac{\partial L}{\partial y} + \frac{\partial R}{\partial \dot{y}} = 0$$

Modelo dinámico

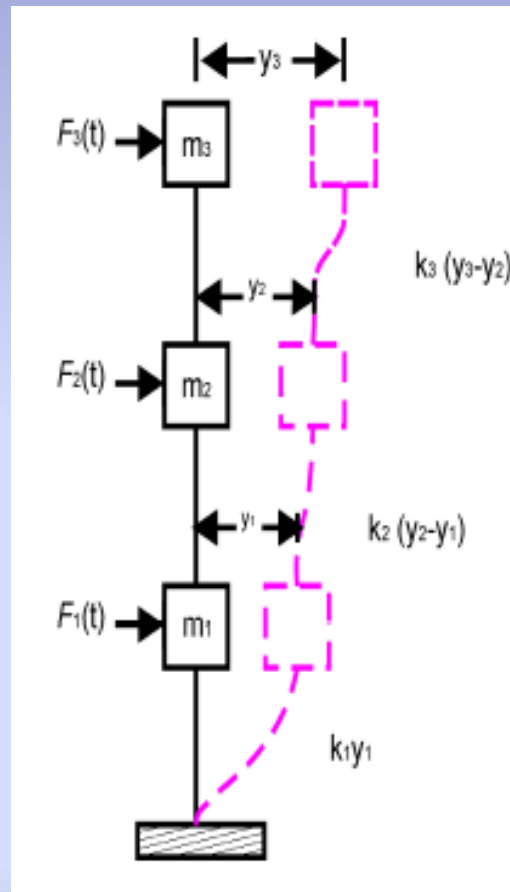


Figura 3: Modelo simplificado de una estructura perturbada

Modelo dinámico

- Sistema de ecuaciones considerando la excitación de fuerzas independientes en cada uno de los pisos de la estructura tipo edificio.

$$m_1\ddot{y}_1 + k_1y_1 - k_2(y_2 - y_1) + c_1\dot{y}_1 - c_2(\dot{y}_2 - \dot{y}_1) = f_1$$

$$m_2\ddot{y}_2 + k_2(y_2 - y_1) - k_3(y_3 - y_2) + c_2(\dot{y}_2 - \dot{y}_1) - c_3(\dot{y}_3 - \dot{y}_2) = f_2$$

$$m_3\ddot{y}_3 + k_3(y_3 - y_2) + c_3(\dot{y}_3 - \dot{y}_2) = f_3$$

Señal de perturbación al sistema:

- La presencia de señal exógenas como las vibraciones, que provocan el desplazamiento de toda la estructura, es generada por la acción de una fuerza armónica suministrado por una *shaker* electromagnético, en la base de la estructura, términos de la aceleración.

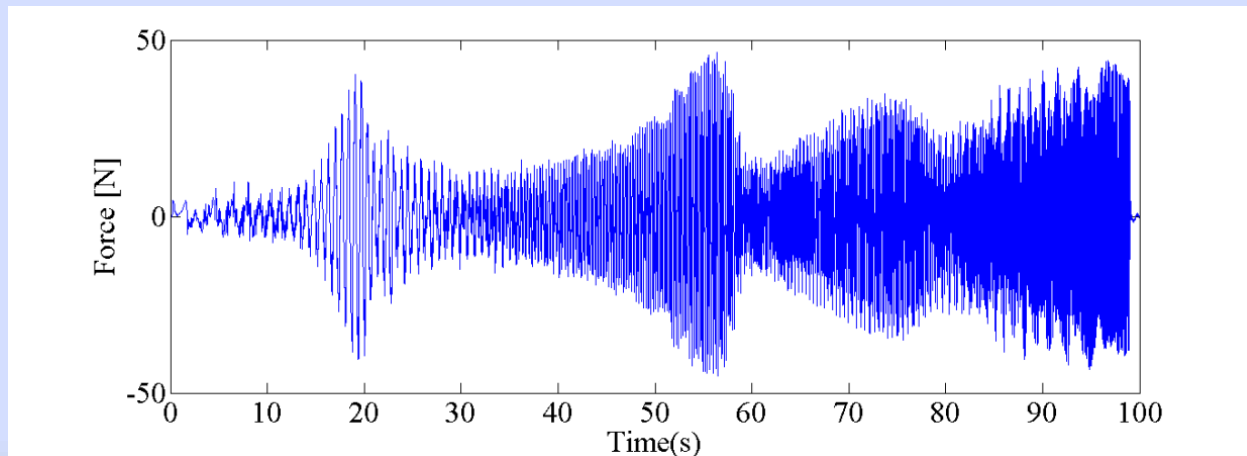


Figura 4: Fuerza de excitación en la base de la estructura

Señal de perturbación al sistema:

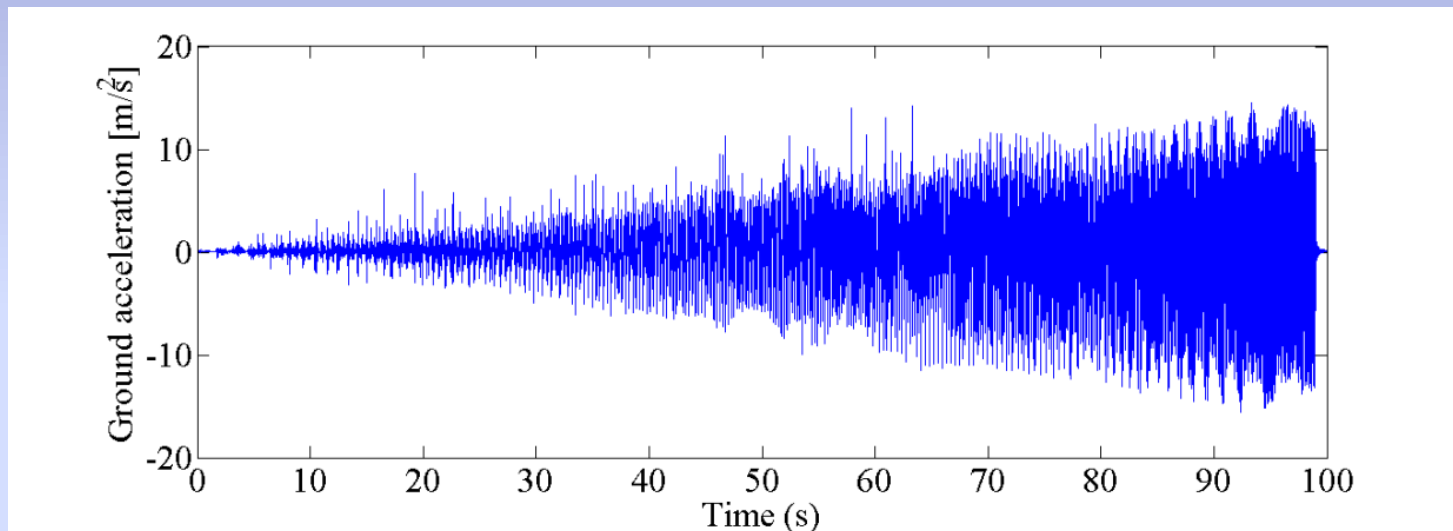




Figura 5: Fuerza de excitación en términos de la aceleración en la base de la estructura



Descripción de la estructura experimental:

- La plataforma experimental esta compuesta por tres subsistemas:
 - a) Masa (pisos), resorte tipo columna (columnas) y los amortiguamientos
 - b) Sistema de adquisición de datos vía Compact DAQ de *National Instruments*®, y programas.
 - c) Acelerómetros y Shaker electromagnético.
- 

Caso de estudio:

Estructura tipo edificio de tres pisos:

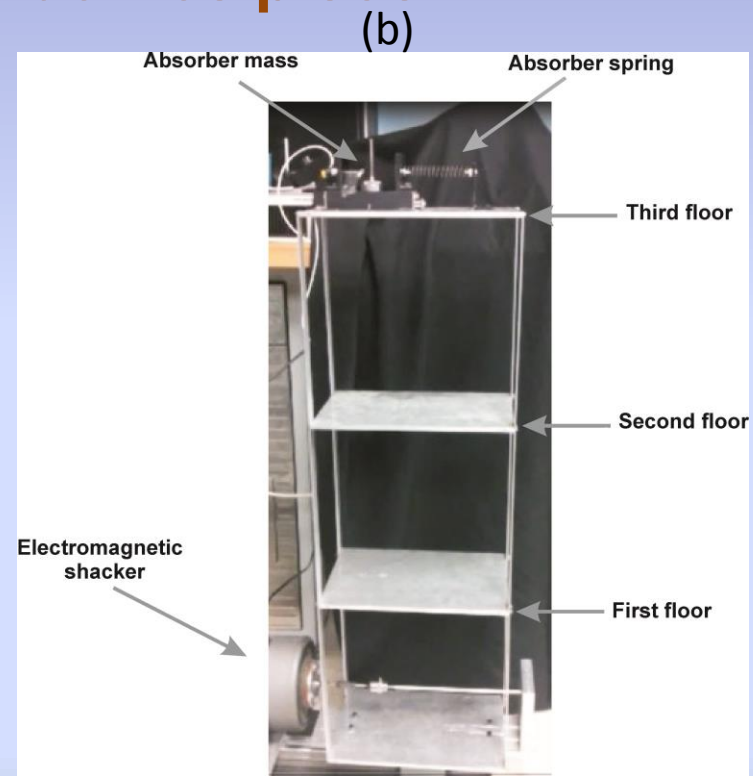
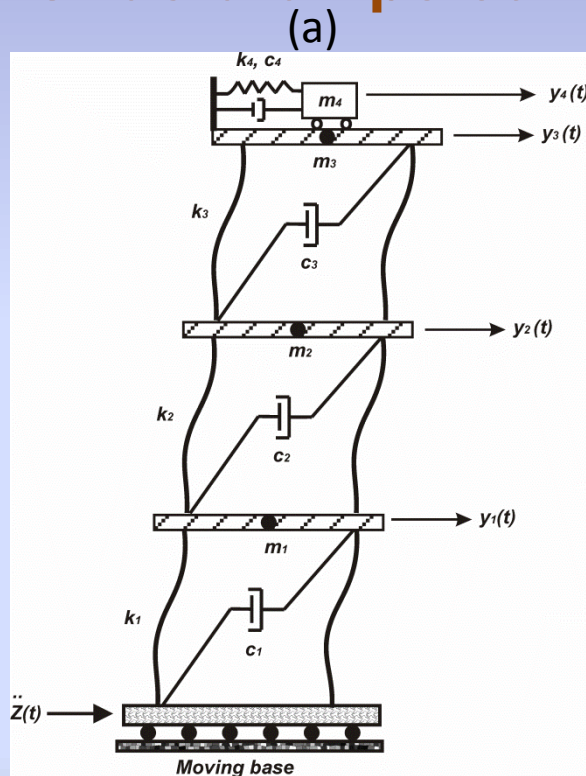


Figura 6: (a) Diagrama esquemático y (b) Plataforma experimental

Caso de estudio:

$$M_3 \ddot{x}(t) + C_3 \dot{x}(t) + K_3 x(t) = -M_3 e_3 \ddot{z}(t),$$

$$z \in R, x \in R^3, e_3 = [1 \quad 1 \quad 1]^T \in R^3$$

Representación en forma matricial:

$$\begin{bmatrix} m_1 & 0 & 0 \\ 0 & m_2 & 0 \\ 0 & 0 & m_3 \end{bmatrix}, C_3 = \begin{bmatrix} c_1 + c_2 & -c_2 & 0 \\ -c_2 & c_2 + c_3 & -c_3 \\ 0 & -c_3 & c_3 \end{bmatrix},$$

$$K_3 = \begin{bmatrix} k_1 + k_2 & -k_2 & 0 \\ -k_2 & k_2 + k_3 & -k_3 \\ 0 & -k_3 & k_3 \end{bmatrix}$$

Caso de estudio: Análisis Modal

Tabla I. Parámetros del sistema

$m_1 = 1.018kg$	$m_2 = 1.001kg$	$m_3 = 2.187kg$
$k_1 = 897.0277N/m$	$k_2 = 933.3893N/m$	$k_3 = 888.2334N/m$
$c_1 = 0.1233N/(m/s)$	$c_2 = 0.3345N/(m/s)$	$c_3 = 1.8977N/(m/s)$

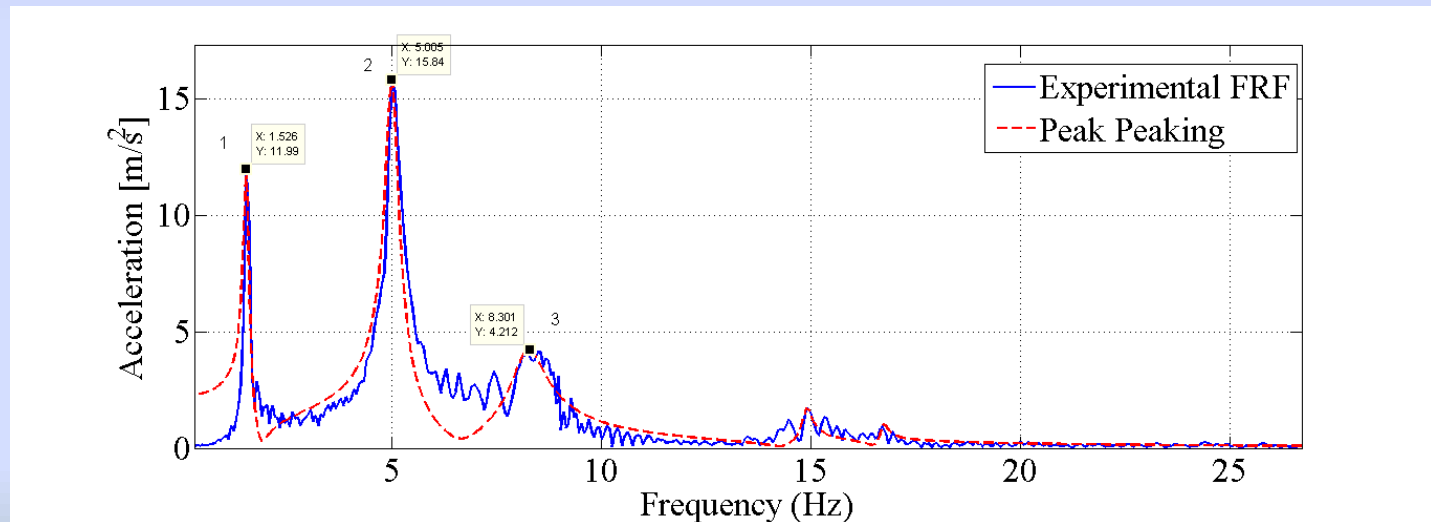


Figura 7: FRF experimental del sistema

Caso de estudio:

- Una tabla comparativa con las frecuencias resonantes tanto numéricas como experimentales de la estructura tipo edificio y sus amortiguamientos modales, se presentan en la Tabla II.

Tabla II. Parámetros modales de la estructura tipo edificio

Mode i	Resonance frequencies ω_i [Hz]		Modal damping ξ_i Experimental
	Numerical	Experimental	
1	1.6077	1.5260	0.0362
2	5.0621	5.0052	0.0295
3	8.0025	8.2402	0.0511

- Los resultados muestran que el modelo simple permite validar los primeros tres modos de vibración de la estructura.

Control pasivo de vibraciones:

- Los absorbedores de vibraciones son herramientas utilizadas con la finalidad de suprimir los efectos no deseados, debido a una excitación en los sistemas estructurales.
- La aplicación del control de vibraciones es aplicado para el análisis y control de estructuras como las civiles, que generalmente son excitadas por fuerzas exógenas como los vientos, temblores. Inducidas por tráfico en las grandes ciudades, trenes subterráneos, etc.
- Existen básicamente tres metodologías ampliamente utilizadas para el control de vibraciones:
 1. **Control pasivo:** masa, resorte o amortiguamientos fijos
 2. **Control semi-activo:** elementos ajustables.
 3. **Control activo:** retroalimentación o pre-alimentación de señales (posición, velocidad, aceleración, etc).

Control pasivo de vibraciones:

Sistema de ecuaciones de la estructura tipo edificio con TMD (*Tuned-Mass-Damper*), colocado sobre el tercer piso:

$$M_4 \ddot{y}(t) + C_4 \dot{y}(t) + K_4 y(t) = -M_4 e_4 \ddot{z}(t), \quad y \in R^4,$$

$$z \in R, \quad e_4 = [1 \ 1 \ 1 \ 1]^T \in R^4$$

Representación en forma matricial

$$M_4 = \begin{bmatrix} m_1 & 0 & 0 & 0 \\ 0 & m_2 & 0 & 0 \\ 0 & 0 & m_3 & 0 \\ 0 & 0 & 0 & m_4 \end{bmatrix}, \quad C_4 = \begin{bmatrix} c_1 + c_2 & -c_2 & 0 & 0 \\ -c_2 & c_2 + c_3 & -c_3 & 0 \\ 0 & -c_3 & c_3 + c_4 & -c_4 \\ 0 & 0 & -c_4 & c_4 \end{bmatrix},$$
$$K_4 = \begin{bmatrix} k_1 + k_2 & -k_2 & 0 & 0 \\ -k_2 & k_2 + k_3 & -k_3 & 0 \\ 0 & -k_3 & k_3 + k_4 & -k_4 \\ 0 & 0 & -k_4 & k_4 \end{bmatrix}$$

Control pasivo de vibraciones:

El TMD se diseña para atenuar el segundo modo de vibración localizado en $\omega_2 = 4.7913$ Hz.

$$\omega_j = \sqrt{\frac{k_4}{m_4}}, \quad j = 2$$

Los parámetros del sistema con TMD se presentan en la Tabla III.

Tabla III. Parámetros de la estructura tipo edificio con TMD

$m_1 = 1.018kg$	$m_2 = 1.001kg$	$m_3 = 1.340kg$	$m_4 = 0.848kg$
$k_1 = 897.0277N/m$	$k_2 = 933.3893N/m$	$k_3 = 888.2334N/m$	$k_4 = 723N/m$
$c_1 = 0.1233N/(m/s)$	$c_2 = 0.3345N/(m/s)$	$c_3 = 1.8977N/(m/s)$	$c_4 = 0.1920N/(m/s)$

Control pasivo de vibraciones:

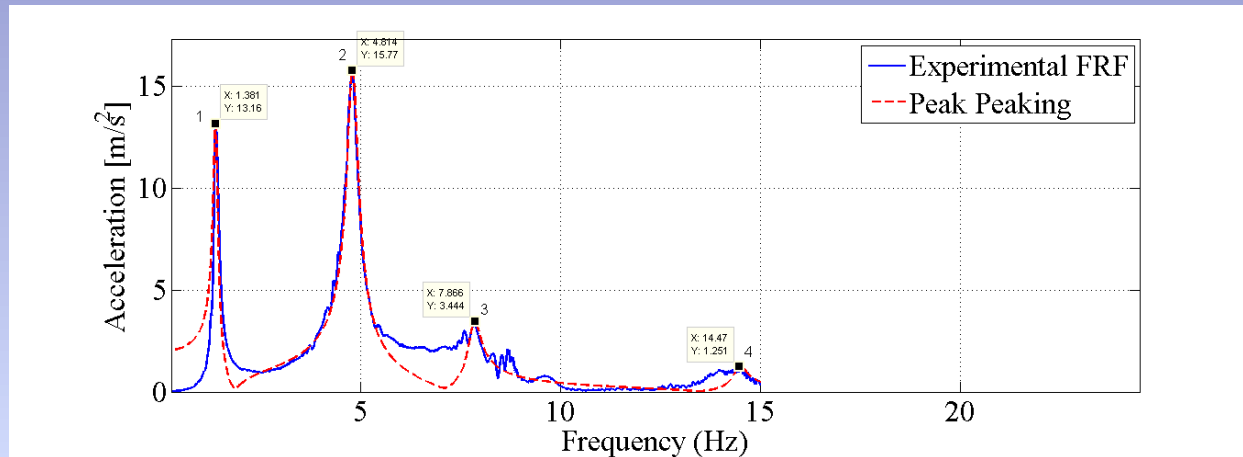


Figura 8: FRF experimental del sistema con TMD

Tabla IV. Resultados experimentales de la estructura con TMD

Mode i	Resonance frequencies ω_i [Hz]		Modal damping ξ_i Experimental
	Numerical	Experimental	
1	1.5791	1.3886	0.0359
2	4.5448	4.7913	0.0254
3	6.4957	7.8507	0.0175
4	8.2182	13.9772	0.0010

Control pasivo de vibraciones:

La respuesta dinámica experimental del sistema implementando el TMD.

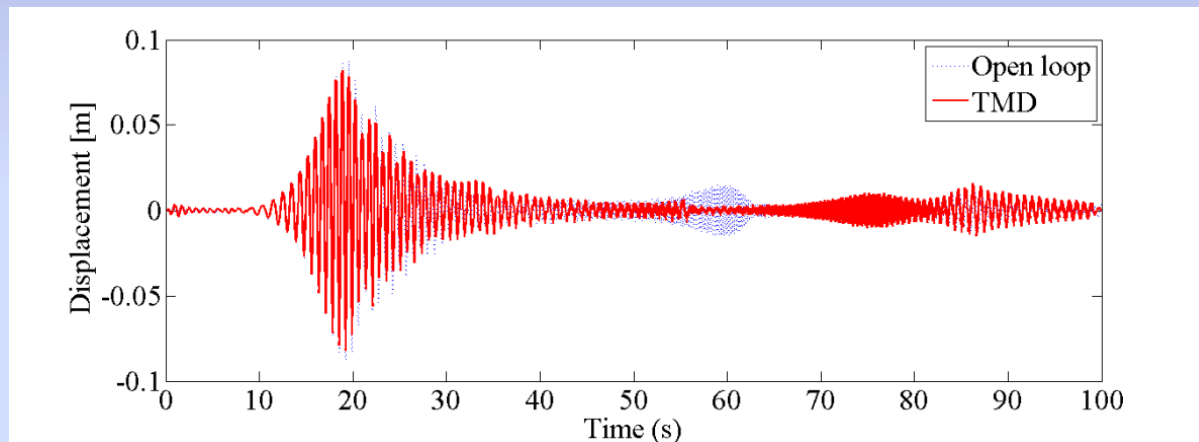


Figura 9: FRF experimental del sistema con TMD

La respuesta del sistema en el segundo modo es atenuado en un 91%.

Conclusiones:

- ❑ El modelado de sistemas de la vida real con el formalismo de *Euler-Lagrange* es viable y ampliamente utilizado.
 - ❑ Las herramientas físico-matemáticas son ampliamente utilizadas para el control de sistemas reales.
 - ❑ Los esquemas de control modal para la atenuación de vibraciones en estructuras con varios grados de libertad es de gran interés en la ingeniería estructural.
-



FACULTAD DE CIENCIAS EN FÍSICA Y MATEMÁTICAS



MODELACIÓN DE UNA ESTRUCTURA TIPO EDIFICIO MEDIANTE EL FORMALISMO DE EULER-LAGRANGE

Dr. Josué Enríquez-Zárte
Investigador
RTO Energy